

神西湖湖底堆積物中から検出された洪水イベント

沢井祐紀¹・丹後雅憲²・高安克己³

Flood events recognized from Lake Sediments in Lake Jinzai,
Shimane Prefecture, Japan

Yuki Sawai¹, Masanori Tango² and Katsumi Takayasu³

Abstract: In order to make clear the historical flood events in the Izumo plain, four bore-hole samples were taken from Lake Jinzai, Shimane Prefecture, western Japan.

Several analyses such as grain-size analyses, diatom fossil assemblage and measurement of total organic carbon contents, total nitrogen contents and total sulfur contents have been carried out on these samples.

Consequently, one horizon of each lake sediment shows rapid changes as follows. Median has changed from coarse to fine. Sorting has mutated from poorly to well. Total valve number per g and complete valve percents of diatom fossil in lake sediment have decreased. Total organic carbon contents and total sulfur contents have decreased, and total organic carbon content per total nitrogen ratios have increased.

These results of analyses suggest that this horizon is the turbidite deposited due to historical flood events in 1964.

Key words : Lake Jinzai, historical flood events

はじめに

日本各地に点在する湖沼群は、その生産性の高さから古来より人間活動の中心となってきた。この湖沼の堆積物には、当時の人文活動に大きな影響を与えたと考えられる環境変化の記録が詳細に残されていることが期待され、近年の研究において海水面変動や気候変動だけでなく津波、洪水などのイベントを湖沼堆積物の解析から読みとり、その規模・頻度等が議論されるようになってきた（例えば、井内ほか, 1993；福沢ほか, 1994；本田・鹿島, 1997など）。

神西湖は島根県出雲平野の南西部に位置し、江戸時代に人工的に開削された差海川によって海と通じている汽水湖である。本湖は、その排水性の悪さから洪水を繰り返し、周辺の村・田畠に被害を出してきたことが古文書によって記されている（出雲市役所, 1973）。この証拠は、神西湖の湖底堆積物中に顕著に残されていることが高安ほか（1995）、丹後ほか（1996）によって既に指摘されており、さらに詳細な調査を行うことによってこれらの自然科学的な裏付けが詳しくされていくと考えられる。

以上のことから本研究では、当時の人間活動だけ

¹ 九州大学理学部地球惑星科学教室

Department of Earth and Planetary Sciences, Kyushu University, Fukuoka 812-8581, Japan

² 島根大学大学院理学研究科

Graduate School of Science, Shimane University, Matsue 690-8504, Japan

³ 島根大学汽水域研究センター

Research Center for Coastal Lagoon Environments, Shimane University, Matsue 690-8504, Japan

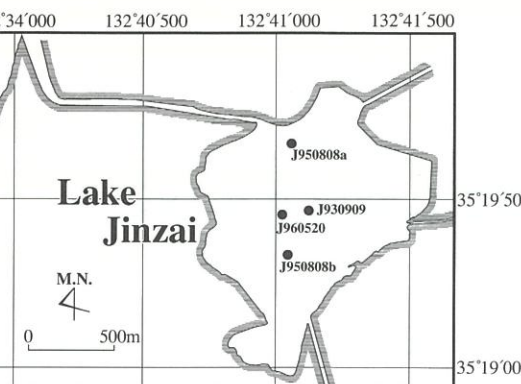


図1. 神西湖における調査地点
Fig.1 Sampling sites in Lake Jinzai

でなく神西湖や出雲平野の形成において大きな影響を与えたと考えられる洪水イベントの証拠を、神西湖湖底堆積物中から検出することを目的とした。湖底堆積物中から地震、洪水などが原因と考えられるタービダイトや堆積異常層を認定する試みは、井内ほか（1993）が琵琶湖の湖成堆積物中の粒子比重のピークを求めるこことによって行っている。また、福沢ほか（1994）は福井県水月湖において、湖底堆積物の粒子比重、緑泥石／ライトの比率を洪水イベントを示す指標としている。本研究では、湖底堆積物の粒度分析を行い中央粒径、淘汰度などの垂直変化を求め、全有機炭素濃度、全窒素濃度、全硫黄濃度測定の地球化学的手法、さらに珪藻分析という古生物学的手法を加えることによって洪水堆積物の検出を試みた。

試料の採取・観察および分析方法

柱状試料は、グラビティコアサンプラー、ピストン式コアサンプラーを用い、計4地点で採取した（図1）。得られた試料は、肉眼観察、軟X線写真の観察を行うことによって層相の変化を把握した。

得られた4本の柱状試料すべてについて、粒度分析、含水率測定、全硫黄濃度測定、全有機炭素濃度測定、全窒素濃度測定を5mm～数mm間隔で行った。また、J960520について珪藻分析を行った（沢井、1997）。粒度分析は、34%過酸化水素水で処理した後、セイシン企業製レーザー回析式粒度分析計（PRO-7000S）を用いて行い、得られた結果からFolk and Ward（1957）に従って中央粒径と淘汰度を計算した。全有機炭素濃度・全窒素濃度測定は、0.1N塩酸で処理した後、YANAKO-CHN コーダー（MT-3型）を用いて定量した。全硫黄濃度測定は、堀場製作所製硫黄分析装置（EMIA-120）を用いて定量した。それぞれの分析における前処理の詳細は、丹後ほか（1996）に

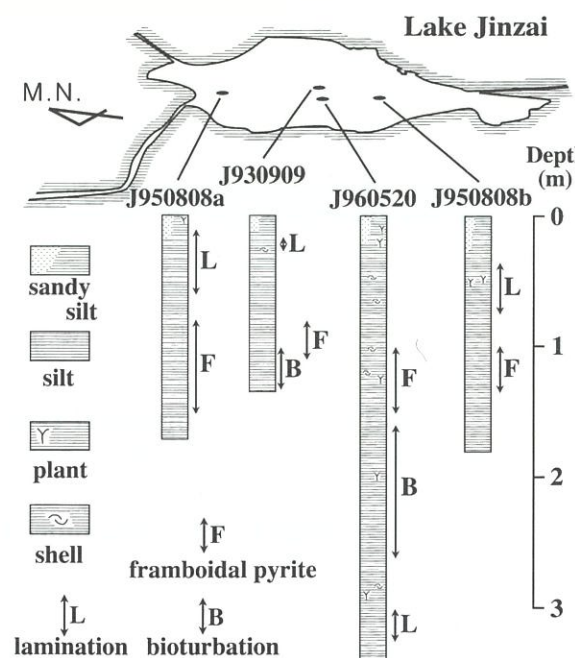


図2. 各調査地点における柱状図
Fig.2 Columnar sections of sampling sites in Lake Jinzai

従った。

湖底柱状試料の層相の変化

(1) J930909 (北緯35°19.461, 東経132°41.121)

肉眼観察と軟X線写真観察の結果、透過率の悪い粗粒部と透過率の良い細粒部の互層が見られた。特に深度38cmから26cmにかけては、深度38cmを境界にして粒度が粗粒となった後に、粗粒から細粒への連続的な変化を読みとることができた。また、ラミネーションの見られる層準とバイオターベーションの見られる層準が數カ所見られた。特に、深度26cm～16cmの層準において顕著なラミナ構造が、深度134cm～124cmの層準において強いバイオターベーションがそれぞれ観察された。また、深度108cm～100cm、深度88cm～78cmにおいてはフランボイダルパイライトが多数観察された。深度25cm付近では貝化石が確認された。

(2) J950808a (北緯35°19.657, 東経132°41.053)

上部20cm程度が砂質シルトからなり、それより下部はシルトまたは粘土層からなる。このシルトもしくは粘土層においても、透過率の悪い粗粒部と透過率の良い細粒部の互層が見られた。深度58cm～10cmではラミネーションが見られ、深度96cm～78cm、深度150cm～100cmではフランボイダルパイライトが多数観察された。植物片または腐植物は、深度288cm、深度196cm、深度125cm、深度15cm～8cmに見られた。貝化石は、深度281cm、深度120cm、深度107cm、深度67cm、深度42cmにそれぞれ観察された。

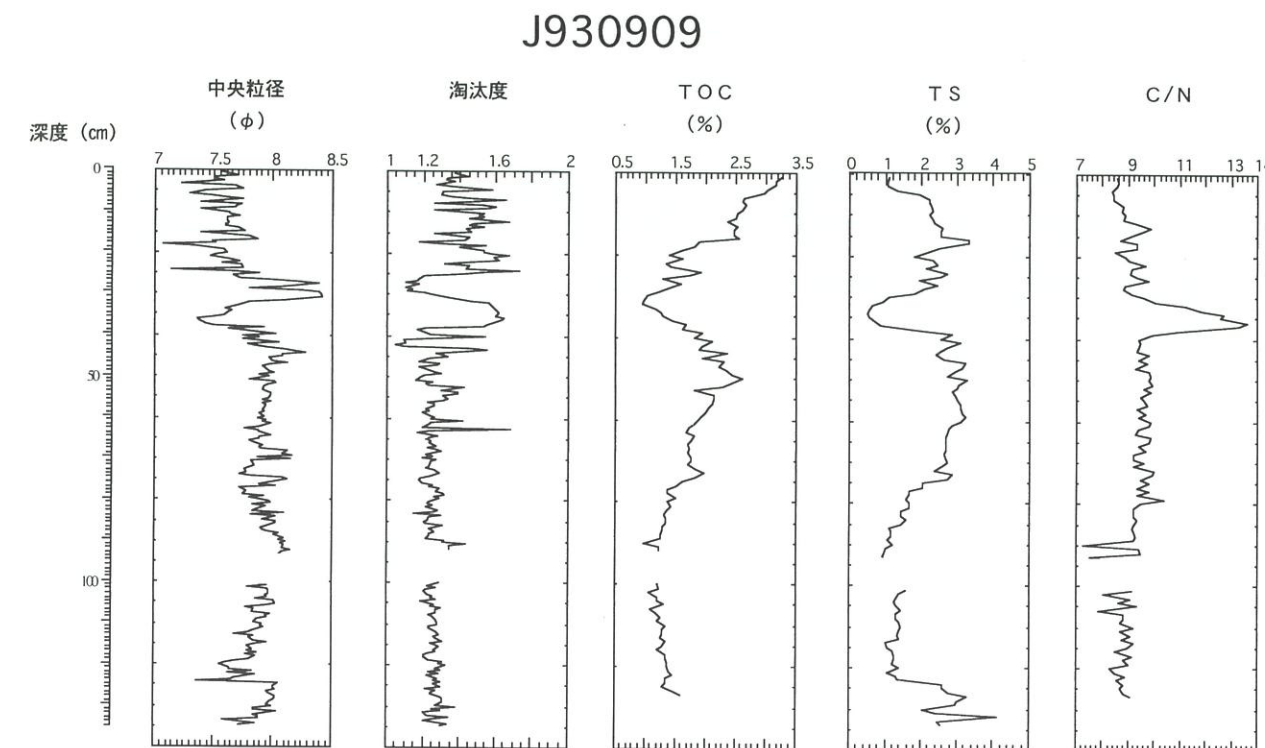


図3. 地点J930909の粒度分析、化学分析結果
Fig.3 Results of grain-size analysis and geochemical analysis at J930909

神西湖湖底堆積物の粒度・有機炭素量・窒素量・硫黄量の垂直変化

(1) J930909 (図3)

分析結果より、中央粒径、淘汰度はともに深度134cm～45cmの層準で大きな変化を示さなかった。これに対し、深度45cmより上位では変動が大きくなり、特に深度38cm～26cmにおいて中央粒径が大から小へ、淘汰度が不良から良へと変化していることが認められた。

(3) J950808b (北緯35°19.332, 東経132°41.038)

上部25cm程度が砂質シルト、深度約25cm以深が粗粒部と細粒部の互層が認められるシルトまたは粘土層からなる。深度76cm～35cmでは顕著なラミネーションが認められ、深度135cm～100cmではフランボイダルパイライトが多数観察された。また、深度48cm、深度46cm付近で木片が認められた。

(4) J960520 (北緯35°19.449, 東経132°41.019)

このコアにおいても、上部20cm程度が砂質シルトからなり、それより下部が透過率の悪い粗粒部と透過率の良い細粒部の互層からなるシルト～粘土層によって構成される。深度260cm～165cmではバイオターベーションが観察されたが、深度210cm～170cm付近で特に顕著な擾乱模様が見られた。また、深度325cm～302cmでは顕著なラミネーションが観察されたほか、深度150cm～100cmではフランボイダルパイライトが多数認められた。植物片または腐植物は、深度288cm、深度196cm、深度125cm、深度15cm～8cmに見られた。貝化石は、深度281cm、深度120cm、深度107cm、深度67cm、深度42cmにそれぞれ観察された。

全有機炭素濃度は、深度134cm～100cmが緩やかな減少傾向を示すのに対し、それより上位の層準では逆に増加傾向を示す。特に深度48cm～0cmでは、深度32cm付近で全有機炭素濃度が急激に減少し、それ以後再び増加していく変化が認められた。また、有機物の供給源の指標とされる、全有機炭素濃度・全窒素濃度比の垂直変化を求めた結果、深度38cm付近で急激な増加が見られた。

全硫黄濃度は、深度134cm～123cmで2%～4%の値を示し、深度122cm～77cmでは1.3%程度の値となつた後、深度約75cm～39cmにおいて2.8%前後に増加する。その後、深度34cmで急激に減少し、再び2.4%程度に増加する。深度約6cmまで2.2%～3.3%の値を示すが、深度約6cm～0cmにかけて全硫黄濃度は減少し1%程度となる。

(2) J950808a (図4)

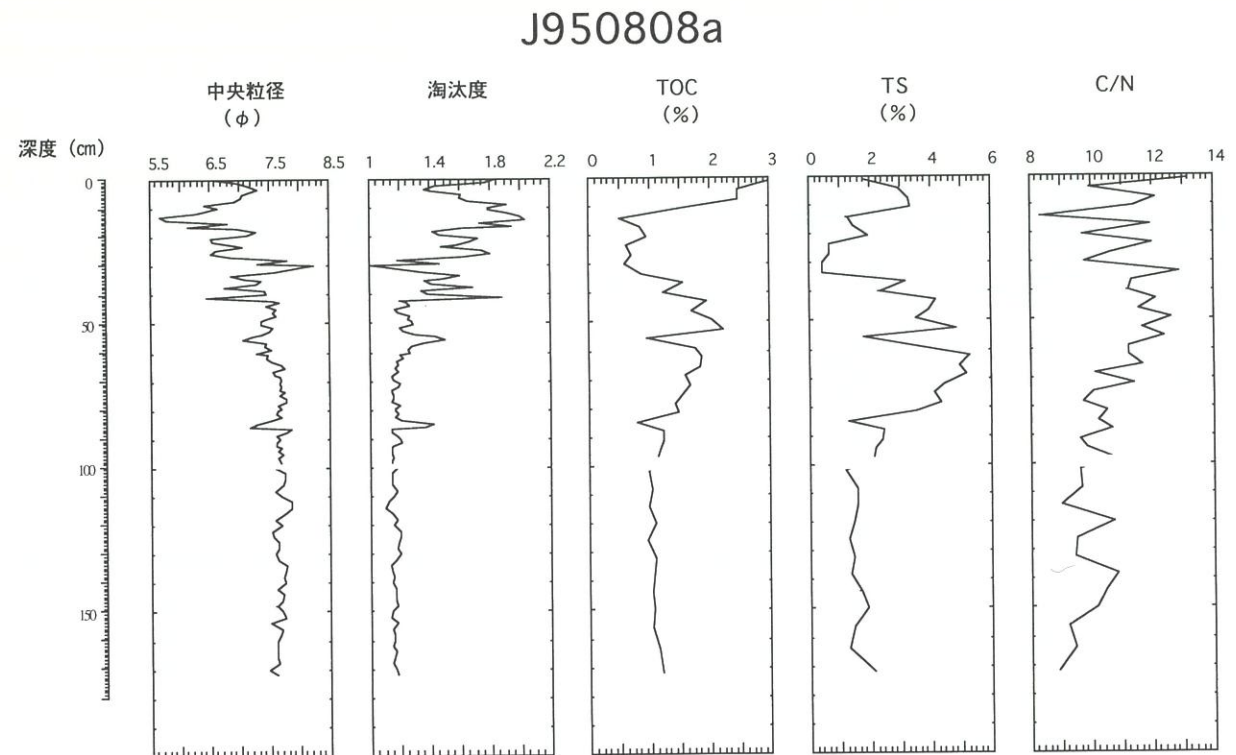


図4. 地点J950808aの粒度分析、化学分析結果

Fig.4 Results of grain-size analysis and geochemical analysis at J950808a

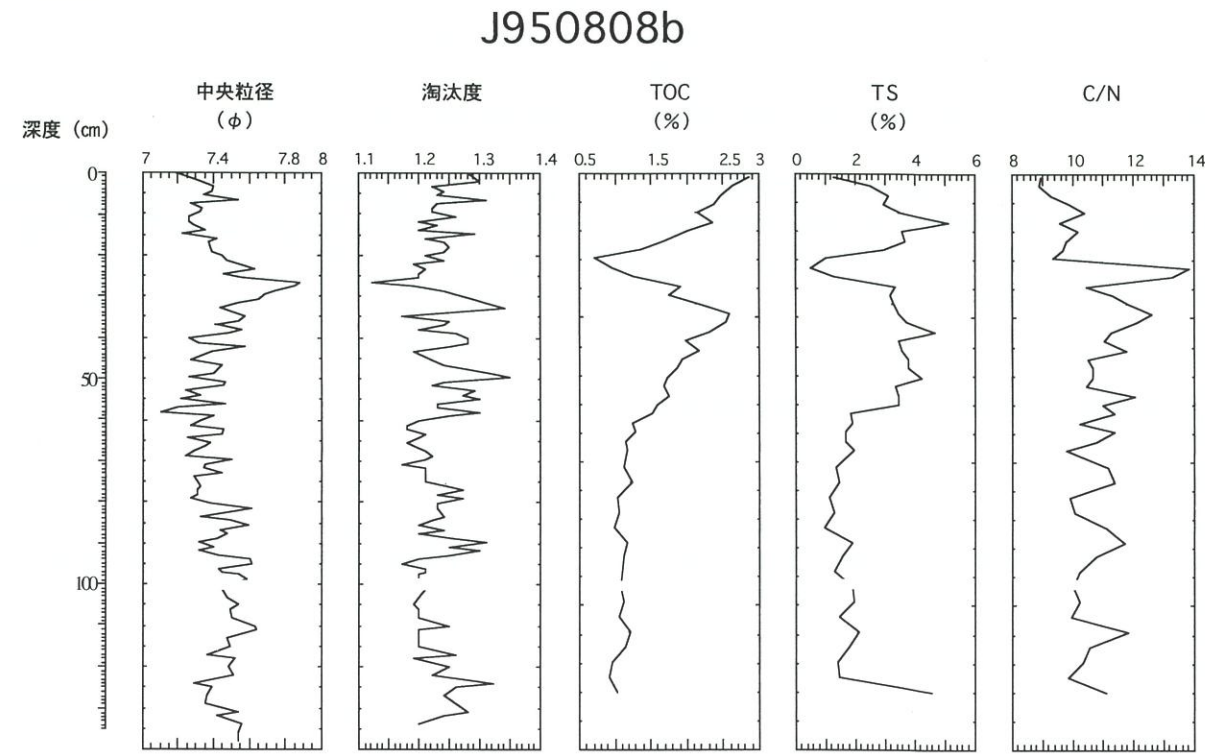


図5. 地点J950808bの粒度分析、化学分析結果

Fig.5 Results of grain-size analysis and geochemical analysis at J950808b

深度 86cm, 深度 56cm で中央粒径がやや大きくなり, 淘汰度が若干悪くなる層準が認められたが, 深度 172cm~42cm の層準では中央粒径, 淘汰度はともに大きな変動を示さなかった。その上位の層準では激しい変動が確認され, 深度 41cm~30cm, 深度 14cm~3cm では中央粒径が大から小, 淘汰度が不良から良への変化を示した。

全有機炭素濃度は, 深度 100cm 程度まで緩やかな減少傾向を示し, その後増加傾向となっていく。しかしながら, 深度 85cm, 深度 56cm, 深度 33cm~14cm では, その前後の層準と比べて急激にその値を減少させている。C/N 比は下位の層準から増加傾向を示すが, 深度 100cm より上位は大きな変動を繰り返していることが認められた。

全硫黄濃度は, 深度 172cm~98cm で 1.1%~2% の値を示し, 深度 98cm~85cm で 3% 前後まで増加する。その後は, 深度 84cm~36cm まで 3%~5% の高い値を示すが, 深度 56cm 付近で前後の層準と比べて急激に減少する層準が見られた。深度 34cm~24cm では, 全硫黄濃度が 0.4% まで急激に減少し, 深度約 11cm で 3.3% まで再び増加する。

(3) J950808b (図5)

深度 27cm~28cm において, その前後の層準と比べて中央粒径がやや大きくなり, 淘汰度が若干悪くなる層準が見られたほか, 全層準を通じて中央粒径, 淘汰度ともに変動を繰り返していることが認め

られた。

全有機炭素濃度は, 深度約 30cm で前後の層準と比べて急激に値が減少しているほかは, 全層準を通じて增加傾向を示す。

全硫黄濃度は, 深度 83cm 以深において, 深度約 180cm で 4.6% を示すほかは 1%~2% の値を示す。深度 83cm 以浅においては, 深度 30cm 前後でその値が急激に減少するほかは, 3% 前後の値を示した。

(4) J960520 (図6)

中央粒径, 淘汰度とともに, 深度 336cm~54cm においては, 多少の変動は見られるものの大きな変化は示さなかった。これに対し, 深度 54cm より上位の層準では 2 つの値はともに大きな変動を示し, 特に深度 33cm~25cm, 深度 15cm~11cm では, 中央粒径が大から小へ, 淘汰度が不良から良へという変化が確認された。

全有機炭素濃度は, 深度 336cm~116cm にかけては, 深度 298cm~270cm, 深度 183cm で前後の層準と比べて値が高いほかは, おおむね減少傾向にある。深度 116cm よりも上位の層準では, 深度 60cm 付近や深度 27cm~25cm において急激にその値が減少する。C/N 比は, 深度 336cm~176cm にかけて, 所々に急激な増加を示す層準があるがおおむね減少傾向にある。また, 深度 176cm~26cm では 11 前後の値を, 深度 26cm~0cm では 9 前後の値を示す。

全硫黄濃度は, 深度 336cm~256cm にかけて 0.1%~1%

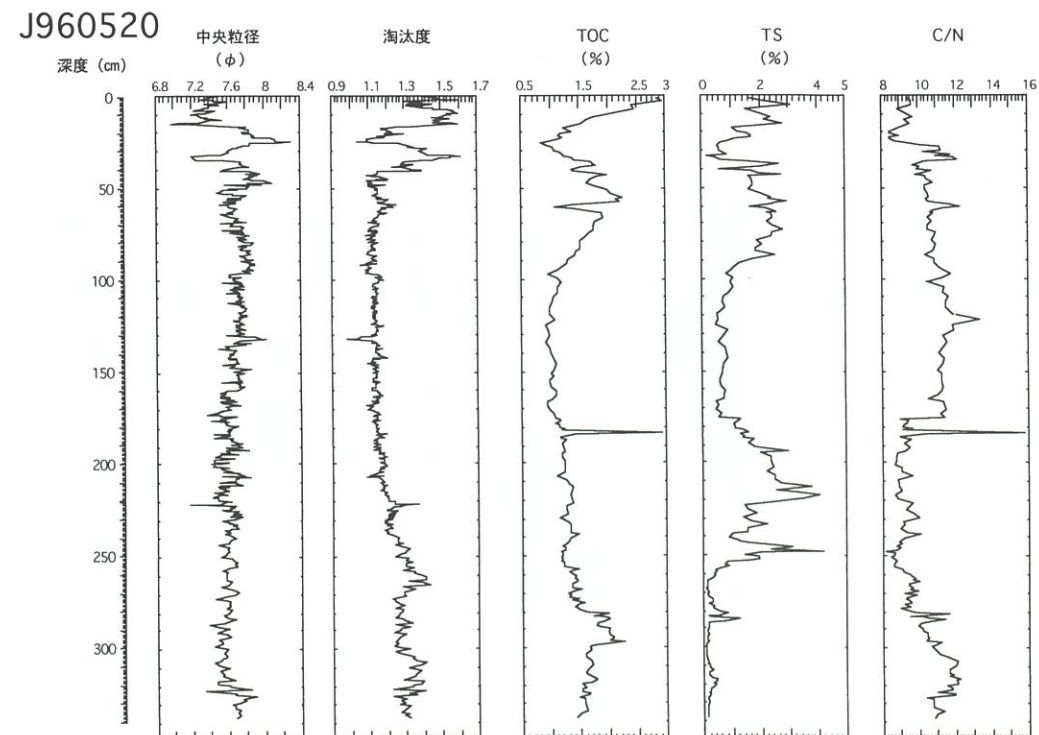


図6. 地点J960520の粒度分析、化学分析結果

Fig.6 Results of grain-size analysis and geochemical analysis at J960520

の値を示す。その後、深度 256cm~248cm のかけて 4.2% まで値が上昇するが、深度 242cm~223cm ではその値が急激に減少する。その上位では、深度 223cm~233cm にかけて 2% 程度まで上昇し、深度 177cm まで減少傾向を示す。その後、深度 177cm から上昇傾向に転じ、深度 85cm 前後で 2.5% の値となる。深度 85cm~0cm においては、深度 33cm~26cm にかけて急激に値が減少するなど、大きな変動が認められた。

神西湖湖底堆積物中の珪藻化石遺骸群集

J960520 コアの珪藻分析を行い、図 7 のような分析結果を得た。この結果から、珪藻殻の数は全層準を通じてスパイク状に増加と減少を繰り返していることがわかる。特に深度 24cm~34cm にかけてはその前後と比較して珪藻殻数が激減しており、あわせて珪藻殻の完全個体率も減少していることが認められた。

次に珪藻の種群組成について注目すると、深度 168cm を境にして、上部では汽水域に生息する *Cyclotella caspia* が優占して産出しており、その下位

では淡水浮遊生の *Aulacoseira granulata* が特徴的に出現している。これらの群集変化については、沢井(1997)において詳しく記されているが、以下にその概要を述べる。

深度 338cm~322cm は、淡水浮遊生の *Aulacoseira granulata*, *Cyclotella stelligera* などが優占的に産出し、汽水生・海生の珪藻種はほとんど出現しない。深度 338cm~296cm では、*Aulacoseira granulata* の減少と海水底生の *Navicula forcipata* の増加が特徴的である。深度 296cm~168cm では、*Aulacoseira granulata* が増加・減少を繰り返し、それに対応して汽水生種である *Thalassiosira bramaputrae* や *Diploneis elliptica* などの *Diploneis* 属が減少・増加している。深度 168cm より上位の層準では、*Aulacoseira granulata* は出現しなくなり、汽水生種である *Cyclotella caspia*, *Skeletonema costatum* などの出現率の増加が認められる。

湖底柱状試料から検出された 1964 年の山陰・北陸豪雨による洪水イベント堆積物

今回採取された 4 本の柱状試料の分析結果から、

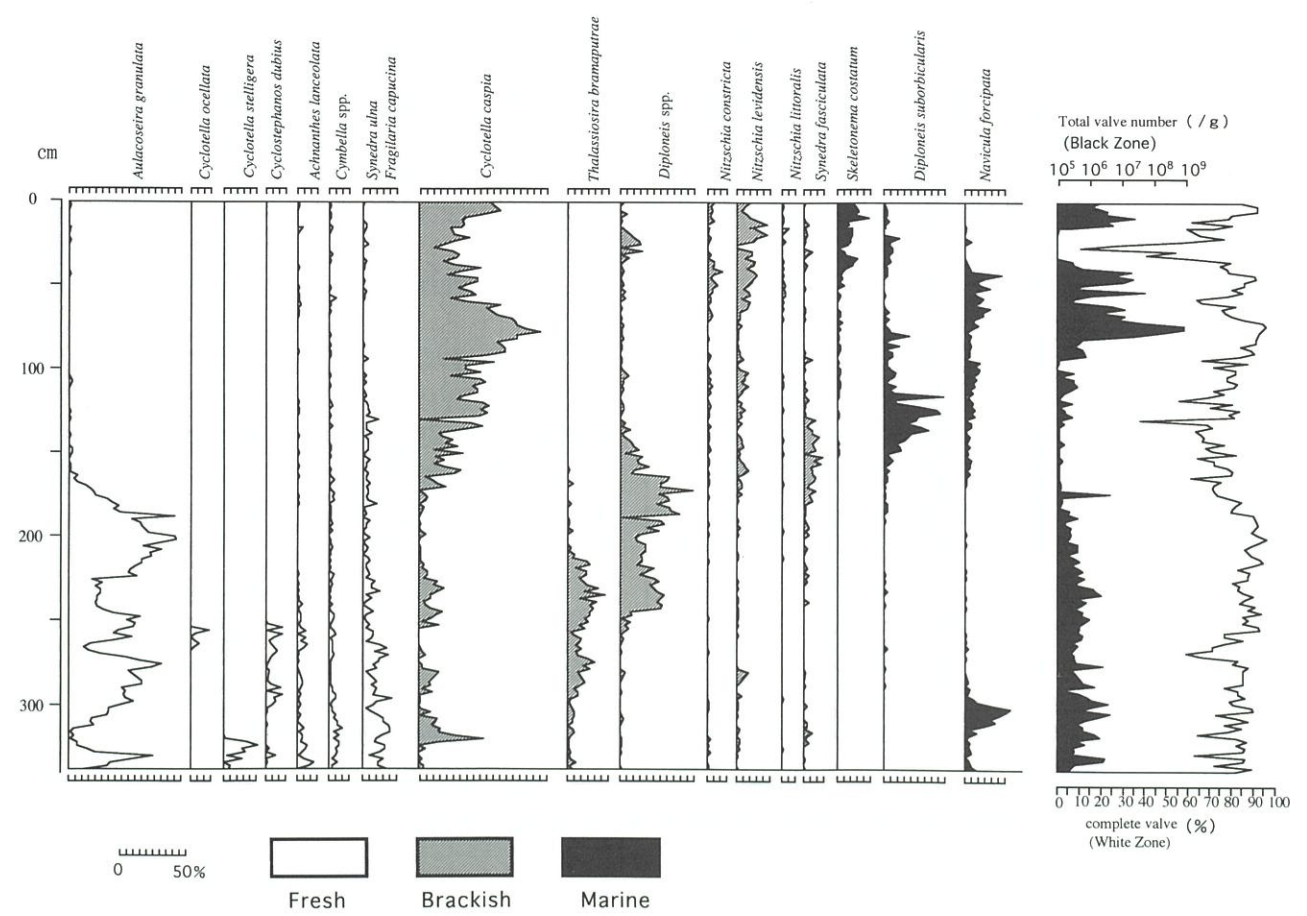


Fig.7 地点 J960520 における珪藻分析結果

Fig.7 Diatom Assemblages from J960520

神西湖湖底堆積物中から検出された洪水イベント

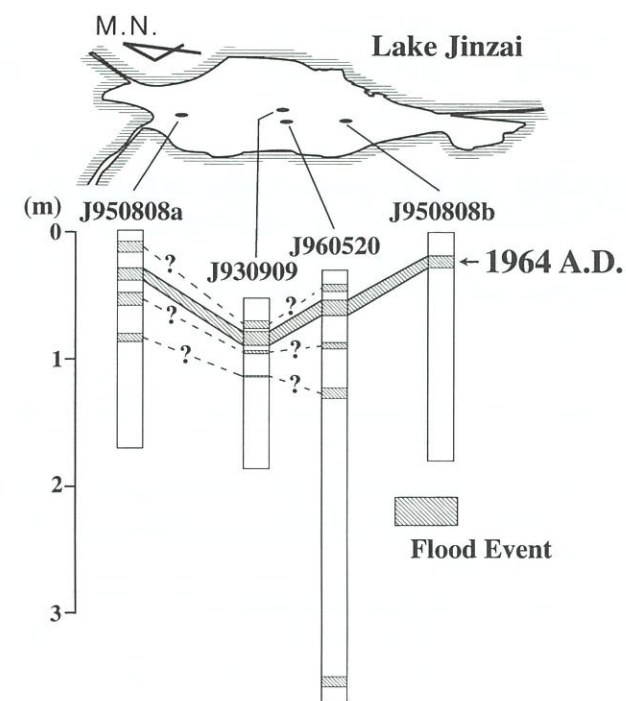


図 8. 神西湖において検出された洪水堆積物
Fig.8 Historical flood events recognized in Lake Jinzai

特に J930909 では深度 38cm~26cm, J950808a では深度 38cm~30cm, J950808b では深度 27cm~19cm, J960520 では深度 34cm~23cm において、各分析項目に以下のようないきなりな変化が共通してみられた。

(1) 軟 X 線写真観察

明瞭な境界を示した後に、周囲よりも急激に透過率が悪くなり、その後上位の層準に向かって透過率が漸移的に良くなる。軟 X 線写真では、粒度の粗粒な層準においては透過率が悪くなるために暗く写り、また逆に、水分が多い層準や密度の低い層準においては透過率が良いために明るく写る。このことから、これらの層準の軟 X 線写真観察の結果は、急激に堆積物の粒度が粗粒となり上位の層準に向けて粒度が細粒となっていることを示している。

(2) 粒度分析（中央粒径、淘汰度）

上記の層準において、中央粒径が大から小へ、淘汰度が不良から良へという変化が同時に認められた。

(3) 全有機炭素濃度、C/N 比

全有機炭素量は前後の層準と比べると、相対的に見て急激に減少している。また、C/N 比は、これとは逆に前後の層準と比べて相対的に増加している。

(4) 全硫黄濃度

全有機炭素量と同様に、全硫黄濃度が相対的に減少していることが認められた。

(5) 硅藻分析

硅藻の遺骸殻が、前後の層準と比べて急激にその数を減少させている。またこの時、同時に殻の完全

個体数も激減している。

これらの変化のうち、軟 X 線写真観察、粒度分析の結果は、いずれも大量の堆積物が短期間に運搬されていく状態を表している。また、全有機炭素量、全硫黄量が前後の層準と比較して減少しているのは陸源碎屑物が急増したことによる希釈効果が原因と考えられ、陸水影響の指標とされる C/N 比（中井ほか、1982）の増加もこれを示している。珪藻分析についても、珪藻殻数の急激な減少、殻の完全個体数の激減が堆積物の急激な運搬を示唆している。以上のことから、各分析項目の変化は、洪水によって大量の陸源混濁物が短期間に流入・堆積したことを見ていると考えるのが最も合理的である。

一方、古文書に記された過去 100 年間の洪水の記録は以下の通りである。

1982 年、台風による洪水。

1964 年、山陰・北陸豪雨による洪水

1959 年、台風 14 号または伊勢湾台風による洪水

1943 年、台風 26 号による洪水

1907 年、洪水

このうち、今回調査を行った 4 地点のいずれにおいても認定された堆積異常層は、1964 年の山陰・北陸豪雨による洪水イベントを表していると考えられる。ただし、ここでは橋谷ほか（1995）において報告されている放射年代を採用した。

またこのほかにも、J930909 では深度 62.5cm~61cm、深度 43.5cm~41cm、深度 24cm~18cm において、J950808a では深度 85cm~80cm、深度 57cm~48cm、深度 16cm~8cm において、J960520 では深度 326cm~319cm、深度 100cm~92cm、深度 16cm~11cm において、各分析項目が上記の変化と酷似した挙動を示した。これらは、1982 年、1959 年、1943 年、1907 年にそれぞれ起きた洪水イベントを表している可能性がある。

まとめ

島根県神西湖において採取された 4 本の柱状試料の分析を行った結果、1964 年の山陰・北陸豪雨による洪水イベントを表す堆積層を認定することができた。またこのほかに、いくつかの層準において 1982 年、1959 年、1943 年に起きた洪水が原因と考えられる堆積層が認められた。これらのことから、年代等の議論を詳細に行うとともに、さらに下層への掘削・分析を行えば、洪水イベントの頻度などの議論が詳しく行えると考えられる。また、本稿では湖水環境の変遷についてはふれなかったが、現在の神西湖の生産性を考えると、本湖の環境変化は当時の人間活動に少なからず影響を与えてきたと考えら

れる。今後、これらの点を明らかにしていくことは、当時の生産活動などを考える上で貴重な資料となるであろう。

謝辞

本研究の際には、島根大学総合理工学部三瓶良和博士、瀬戸浩二博士には多大なご助言とご教示をいただきいた。島根大学総合理工学部の学生諸氏には、調査・分析の際にご協力いただいた。また、九州大学理学部鹿島薰助教授には粗稿を読んでいただいだ。以上の方々に深く感謝いたします。

引用文献

- 福沢仁之・小泉格・岡村真・安田善憲（1994）福井県水月湖の完新世堆積物に記録された歴史時代の地震・洪水・人間活動イベント。地学雑誌, 103: 127-139.
- 橋谷博・清家泰・秋葉道宏（1995）神西湖の水質。神西湖の自然—小さな汽水湖・大きな恵一。神西湖の自然編集委員会編。pp.35-57. たたら書房、鳥取。

本田秀一・鹿島薰（1997）湖底堆積物から見た浜名湖の最近1000年間の古環境変遷。LAGUNA（汽水域研究）, 4: 69-76.

井内美郎・衣笠善博・公文富士夫・安松貞夫・中野聰志・志岐常正（1993）古地震の震度指標者としての琵琶湖タービダイト。地質学論集, 39: 61-70.

出雲市役所（1973）神西村。出雲市三十年誌。pp.156-164. 出雲市役所、島根。

中井信之・太田友子・藤澤寛・吉田正夫（1982）堆積物コアの炭素同位体比、C/N比およびFeS₂含有量からみた名古屋港周辺の古気候、古海水準変動。第四紀研究, 21: 169-177.

沢井祐紀（1997）神西湖における現生珪藻群集と湖底堆積物中の化石珪藻群集。LAGUNA（汽水域研究）, 4: 1-5.

高安克己・瀬戸浩二・三瓶良和（1995）堆積物が語る過去の湖底環境。神西湖の自然—小さな汽水湖・大きな恵一。神西湖の自然編集委員会編。pp.1-21. たたら書房、鳥取。

丹後雅憲・高安克己・瀬戸浩二・三瓶良和（1996）柱状試料からみた神西湖の最近の環境変化。島根県地学会会誌, 11: 7-13.

LAGUNA（汽水域研究）5, 47~53頁（1998年2月）
LAGUNA 5, p.47-53 (1998)

湖底堆積物中の珪藻遺骸群集から復元された浜名湖・

宍道湖の過去10,000年間の古環境変遷

森田英之¹, 鹿島 薫¹, 高安克己²

Paleoenvironmental changes of Lake Hamana and Lake Shinji during the last 10,000 years, inferred by diatom assemblages from lake core sediments

Hideyuki Morita¹, Kaoru Kashima¹ and Katsumi Takayasu²

Abstract: This paper is an attempt to gain insight into the environmental changes of Lake Hamana and Lake Shinji, semi-enclosed brackish lagoons, central Japan, over the last ten thousands years. The following environmental changes were revealed by the study of the diatom remains from two undisturbed cores of the lakes.

Lake Hamana was a brackish lake that had large inputs of marine water about 6,000 years ago. The salinity of this time was above 20% similar to the present level. The salinity decreased to less than 10% from about 4,500 years ago, and Lake Hamana became a freshwater lake around 3,000 years ago. A series of environmental oscillations with 700 ~ 1,200 years intervals between fresh and brackish episodes followed till about 500 years ago (1,498AD), as shown by the alternation of the freshwater planktonic form of *Aulacoseira granulata* with the brackish water planktonic form of *Cyclotella caspia*. A sudden increase in salinity after the Meiou Earthquake and the following tsunami (1,498AD) caused an abrupt change of diatom assemblages of the lake.

Diatom analysis of a 17 m-long core from Lake Shinji showed that the early Holocene was characterized by freshwater taxa, such as *Aulacoseira granulata*. These freshwater species were replaced by *Cyclotella caspia* and other euryhaline species indicating a phase of high saline condition until 4,500 yrs BP. Since then, the decrease of water temperature had made the sediment barren of diatom valves. However, the shift of the river course of River Hii by human activities changed hydrological environments and diatoms were found abundantly from the sediments since then.

Key words: brackish lake, diatom, Lake Hamana, Lake Shinji, Quaternary

はじめに

現在、人類に関わる環境問題に关心が集まり、さまざまな研究がおこなわれている。古環境問題もそのひとつであり、古環境の精度の高い解析が、世界中で試みられ、特に湖の堆積物は細かい環境変動の

復元に適しており、多くの研究で用いられている。

珪藻は、淡水性種、汽水性種、海水性種が存在し、地層中に残り易く、地層堆積当時の湖沼環境の復元に適していることが、これまでの研究で明らかになった。本研究では、日本の代表的な汽水湖沼である静岡県の浜名湖と島根県の宍道湖に注目し、気象変

¹九州大学理学部地球惑星科学教室

Department of Earth and Planetary Sciences, Kyushu University, Fukuoka 812-8581, Japan

²島根大学汽水域研究センター

Research Center for Coastal Lagoon Environments, Shimane University, Matsue 690-8504, Japan